

## 〈논 문〉

# 와류와 전향계단의 상호작용에 의한 비정상 벽면압력 변동의 수치해석

Numerical Analysis of the Unsteady Pressure Fluctuation Generated from the Interaction between a Vortex Flow with a Forward Step

유 기 완<sup>†</sup> · 이 준 신\*

Ki-Wahn Ryu and Jun-Shin Lee

(2001년 9월 10일 접수 : 2002년 2월 1일 심사완료)

**Key Words :** Self-sustained Oscillation(자려 진동), Reattachment Edge(재부착 모서리), Unsteady Pressure Fluctuation(비정상 압력변동), Vortex Flow(와류), Forward Step(직각 전향계단), Cavity(공동)

## ABSTRACT

Modifying effects of the rectangular forward step for suppressing the unsteady pressure fluctuation during interaction between the upstream vortical flow and the edge are studied numerically. The vortical flow is modeled by a point vortex, and the unsteady pressure coefficient is obtained from the velocity and the potential fields. To investigate the effects of the edge shape the rectangular forward step is chamfered with various angles. Calculation shows that the pressure peaks become decreased by increasing the vortex height as well as the chamfering angle. The pressure amplitudes are very sensitive to the change of the initial vortex height and its strength. From this study we can find out that the chamfered edge has two effects: the one is that it suppresses the pressure amplitude generated from the edge, and the other is that it decreases the time variation of unsteady pressure fluctuation. These modifying concepts can be applied to attenuate the self-sustained oscillation mechanism at the open cavity flow.

## 1. 서 론

와류와 물체의 상호작용에 의한 벽면 압력 변동은 물체에 강한 하중 변동을 일으켜 이에 의한 소음의 발생 뿐만 아니라 유동유발 진동(flow-induced vibration)에 따른 기기의 마모나 피로의 원인을 제공하기도 한다. 배관계통을 예로 들면 게이트 밸브는 삼자원 공동을 이루고 있는 예이며 공동(cavity)의 전

방에서 전단흐름에 의해 생성된 와류가 후방에 있는 모서리에 부딪치는 현상이 존재하게 된다. 공동에서의 와류 흘림 현상은 보통 주기성을 가지며 이에 따른 비정상 압력변동(unsteady pressure fluctuation)은 밸브 계통의 진동 특성과 맞물려서 급기야 밸브 계통을 파손시키는 사례를 일으키는 것으로 알려져 있다.<sup>(1)</sup> 특히 이 밸브가 안전을 위한 차단 밸브라면 적절한 시점에서 그 기능을 다하지 못하는 일이 발생할 수 도 있다. 공동의 다른 예로는 항공기 날개나 풍력터빈 블레이드에서 제어면과 에어포일이 이루는 흡, 항공기의 랜딩기어 수납 공간 등을 들 수 있는 데, 여기서도 와류와 모서리의 상호작용에 의한 강한 압력 변동은 그 기능에 좋지 않은 영향을 주기도 한다.

\* 책임저자, 정회원, 전북대학교 공과대학 기계항공시스템공학부  
E-mail : kwryu@moak.chonbuk.ac.kr  
Tel : (063) 270-4286, Fax : (063) 270-2472

† 정회원, 한전 전력연구원

와류와 모서리의 상호 작용에 대한 연구는 주로 실험을 통하여 많이 수행되어졌다. 와류와 모서리의 상호작용에 의한 에지 톤(edge tone) 현상 연구는 Brown<sup>(2)</sup>에 의해서 시도되어졌다. 그는 실험을 통해 와류 이동속도, 와류간의 간격, 모서리에 부딪치는 형태 등이 에지 톤에 미치는 영향을 분석하였다. Rossiter<sup>(3)</sup>는 잘 발달된 와류가 모서리에 부딪치는 현상을 실험적으로 구현하였으며 공동에서 되먹임 현상에 의한 와류 이탈 주기를 나타내는 Strouhal 수를 반경형적으로 제안하였다. 와류가 계단에 근접하면 와류의 흐름속도 변화가 크게 발생되며 이 변화는 물체 표면의 급격한 압력 변동으로 작용하여 진동이나 소음의 원인을 제공하게 된다.

Rockwell과 Knisely<sup>(4)</sup>는 직각 전향계단에 부딪치는 와류 유동 형태를 와류 전체가 공동내부로 들어가는 경우, 와류의 일부가 공동으로 들어가는 경우, 와류가 공동으로 들어가지 않고 후방으로 흘러가는 경우 등, 크게 세 가지 유동 형태로 구분하였다. 물체에 부딪치는 와류유동은 일반적으로 위의 유동 형태중 한가지로만 지속되기보다는 여러 가지 형태를 번갈아 가며 바꾸는 불안정한 현상이 있음을 확인하였다. Tang과 Rockwell<sup>(5)</sup>은 와류가 직각 모서리에 부딪칠 때 모서리의 전방과 상부 평면에서의 순간적인 벽면 압력 변동을 실험적으로 구하였다. 이 실험을 통해서 모서리 전방과 상부 평면의 하중 변화는 쌍극(dipole) 특성을 가진다는 결론을 얻어내었다.

이론적인 접근은 주로 와류와 물체의 상호 작용을 Biot-Savart 법칙과 등각사상법 또는 패널법을 이용하여 해석하였다. 모서리와 와류의 상호 작용이 심한 경우에 Lee<sup>(6)</sup>는 입사와류를 여러 개의 와점들로 이루어진 하나의 랭킨 와운(Rankine vortex cloud)으로 모델링 할 필요성을 인식하고 받음각이 없는 2차원 대칭 날개에 와류가 부딪치고 변형되는 형상을 해석하였다. 계산의 정확도를 높이기 위해서 물체 표면은 적응 패널(adaptive panel)방법을 적용하였으며 비정상 압력 변동으로부터 날개에 작용하는 하중을 높은 정확도를 가지고 얻어낼 수 있었다.

와류와 모서리의 상호작용 시에 와류의 변형이 심하지 않은 경우에는 와점(point vortex) 하나로 모델링 하여 좋은 결과를 얻을 수 있음이 알려져 있다. Conlisk와 Rockwell<sup>(7)</sup>은 직각 전향계단에 와점이 접근할 때 압력변동파가 발생함을 수치적으로 확인하였

으며, 와점의 세기를 바꾸어 가면서 와점의 이동 경로를 실험치와 비교하였다. 또한 실험에서 관측되는 주파수 형태에 해당하는 와점의 배열 형태를 모델링하였다.

물체의 형상 변화에 대한 벽면 압력변동의 수치적 연구는 Panaras<sup>(8)</sup>에 의해서 처음 시도되어졌다. 그는 전향계단은 아니지만 와점이 무한 평판에 돌출된 형상(삼각형, 원형, 타원형, 선분, 등)에 입사될 때 와점의 패적과 물체 표면에서 와점의 위치에 따른 벽면 압력 변동을 계산하였다. 이 계산은 돌출된 물체의 형상 변형이 벽면 압력 변동에 미치는 영향을 분석한 것이다.

위에서 조사한 이론적인 접근 문헌들은 각각 전향계단에 대해서 와점의 작용에 의한 비정상 압력 변동의 해석에 대한 내용들이며 각각 계단 모서리의 형상 변화를 통한 비정상 압력 변동의 제어에 관한 접근은 몇몇 실험에 의해서만 시도된 바 있다.<sup>(9)</sup> 와류와 모서리의 상호 작용은 많은 문제점을 일으키며 일차적으로 가장 문제 시 되는 것은 기기 파손의 우려와 그 기능의 상실이 된다. 따라서 모서리에서 발생되는 압력 변화의 정도가 어느 정도인지 기능하고 그 양을 줄일 수 있는 방안이 무엇인지를 결정하는 것이 중요한 연구 목적 중 하나가 된다. 이를 위해 본 연구에서는 모서리의 형상을 바꾸어 가면서 와점의 이동 경로에 따른 비정상 압력 변동치를 수치적으로 얻어낸 후 그 결과를 검토하기로 한다.

## 2. 수치적 접근

비압축성, 비점성, 비회전 유동장에 대한 유동의 지배방정식은 다음과 같이 Laplace방정식을 만족하는 특성을 갖는다.

$$\nabla^2 \phi = 0 \quad (1)$$

여기서  $\phi$ 는 속도 포텐셜을 의미한다.

일반적으로 무한 평판에 대해서는 해석적인 해를 쉽게 얻을 수 있으므로 Schwarz-Christoffel 변환을 이용하여 Fig. 1(a)에 나타난 전향계단 형태를 아래의 등각사상 식을 통해 Fig. 1(b)와 같이 무한 평판으로 옮긴다.

$$\frac{dz}{d\xi} = A \sqrt{\frac{1-\xi}{\xi}}^{\frac{a}{b}} \sqrt{\frac{a-\xi}{1-\xi}} \quad (2)$$

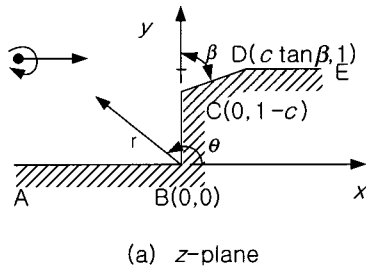
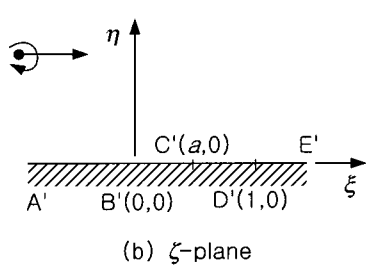

 (a)  $z$ -plane

 (b)  $\xi$ -plane

Fig. 1 Schematics of physical and transformed planes

$$z = f(\xi) = A \int_0^\xi \sqrt{\frac{1-\zeta}{\xi}} \sqrt{\frac{\alpha-\zeta}{1-\zeta}} d\xi + B \quad (3)$$

여기서 경계조건은 다음과 같다.

$$\begin{cases} \zeta=0, & z=0 \\ \zeta=a, & z=(1-c)i \\ \zeta=1, & z=c \tan \beta + i \end{cases} \quad (4)$$

위 경계조건을 이용하여  $A, B (=0), a$ 를 결정하게 된다. 여기서 물리공간에서의 복소변수는  $z=x+iy$ 이고, 수치공간에서의 복소변수는  $\zeta=\xi+i\eta$ 이며,  $i=\sqrt{-1}$ 이다. 길이  $z, \zeta$ 는 계단 높이  $h$ 로 무차원화 된 값으로 정의한다.

복소 포텐셜은  $F(z)=\phi+i\psi$ 로 나타낼 수 있다. 여기서  $\phi$ 는 속도 포텐셜 함수이고,  $\psi$ 는 유량 함수가 된다. 자유흐름장과 와점들이 놓여져 있는 경우에 대한 유동장은 각각의 유동을 지배하는 복소포텐셜 함수들을 합하면 된다. 총 복소포텐셜은 다음과 같다.

$$F(\zeta) = F_M(\zeta) + \sum_{j=0}^N \frac{ik_j}{2\pi} [\ln(\zeta - \bar{\zeta}_j) - \ln(\zeta - \zeta_j)] \quad (5)$$

여기서  $k_j$ 는  $j$  번째 와점의 무차원 세기를 나타내며 무차원은 계단의 높이와 균일 흐름 속도로 한다.  $F_M(\zeta)$ 는 균일 흐름에 대한 복소포텐셜로 다음 값을 갖는다.

$$F_M(\zeta) = 2\zeta/\pi \quad (6)$$

다. 복소 속도는 다음과 같이 복소포텐셜을 미분함으로서 나타낼 수 있다.

$$W(z) = \frac{dF}{dz} = u - iv = \frac{dF}{d\xi} \frac{d\xi}{dz} \quad (7)$$

따라서  $N$ 개의 와류와 자유 흐름장 안에서  $i$ -와점에 유도되는 속도는 식 (5)와 식 (7)로부터

$$u_i - iv_i = \left\{ \frac{dF_M}{d\xi} + \frac{1}{2\pi} \left[ \sum_{j=1}^N \frac{ik_j}{\zeta_i - \zeta_j} - \sum_{j=1, j \neq i}^N \frac{ik_j}{\zeta_i - \zeta_j} \right] \right. \\ \left. \cdot \frac{1}{f'(\zeta_i)} + \frac{ik_i}{4\pi} \frac{f''(\zeta_i)}{f'(\zeta_i)^2} \right\} \quad (8)$$

식 (8)에서 마지막 항은 Routh 항을 나타낸다. 이 항은 와점을 수치영역에서 물리영역으로 좌표 변환할 때 속도 포텐셜이 불변한다는 것과 이 항을 미분한 속도식과 Tayler 급수 전개를 이용하여 얻어낸다. 이 항은 와점 위치에서의 유도 속도를 나타낸다. 와점의 이동 경로는 와류와 자유 흐름에 대한 속도로부터 물리적 영역에서의 1차 미분 방정식을 적분함으로써 얻어 낼 수 있다. 본 연구에서는 미분방정식을 시간에 대해 4차 정확도의 Runge-Kutta 적분방법을 이용한다. 속도장은 수치공간 변수  $\xi$ 로 주어지므로 변환식  $z=f(\xi)$ 를 이용하여 물리적 공간의 위치를 수치공간 위치로 변환 시켜준다. 이를 위해서 Newton-Raphson 반복법을 도입한다.

비압축성, 비점성 흐름에서 정상유동인 경우 벽면 압력 분포는 속도장만 알고 있으면 얻을 수 있으나, 비정상 유동에서의 벽면 압력 변동은 벽면에서 속도의 변화와 포텐셜 변화를 필요로 한다. 와점이 물체 표면을 지날 때에는 국부적인 유속의 변화와 포텐셜 변화를 동반하게 되며 이는 식 (5)와 식 (8)로부터 얻을 수 있다. 본 연구에서는 무차원 압력 계수를 와점의 세기가 없는 경우를 기준으로 하여 다음과 같이 나타낸다.

$$c_p = \frac{(p - p_\infty) - (p_0 - p_\infty)}{q_\infty} \quad (9) \\ = (u_o^2 + v_o^2) - (u^2 + v^2) - \frac{\partial \phi}{\partial t}$$

여기서  $q_\infty$ 는 동압을 나타내며,  $u_o, v_o$ 는 와류가 존재하지 않는 경우의 유동장에서의 유속을 나타낸다. 식 (9)에서 포텐셜의 시간 미분은 1차 전진차분법

(forward difference)을 사용한다.

### 3. 결과 및 토의

공동에서의 기준의 실험결과를 종합해보면 주기적인 압력 교란파의 발생을 제거하기 위해서는 재부착 모서리(reattachment edge)의 형상을 바꾸거나 공동의 전단(leading edge) 높이보다 후단(trailing edge) 높이를 낮게 하는 것 등이 제안되어 있다. 이러한 형상 변경은 경험적으로 와류와 모서리의 상호작용 시에 발생되는 압력 교란의 진폭을 감소시키는 결과를 가져오기 위함이며 이 압력교란의 진폭이 어느 기준이하가 되면 주기적인 압력 교란파의 발생을 억제할 수 있게 된다. Fig. 2는 공동에서 전단에서 발생된 와류가 후단 모서리에 부딪치고 여기서 발생되는 압력 교란이 전단에 되먹임(feedback) 되어 새로이 생성되는 와류의 강도에 영향을 주는 현상을 나타낸 그림이다. 이러한 유동 형태는 전단과 후단의 흐름에 공진을 유발하여 주기적인 강한 압력변동을 지속하는 자려진동(self-sustained oscillation) 흐름구조를 갖게 되며, 유동유발 진동에 의한 소음발생과 기기 손상의 원인을 일으키게 된다.

따라서 본 연구에서는 모서리의 형상을 바꾸어 가면서 모서리에서의 압력교란 진폭과 그 압력 교란 기울기 두 가지에 대해 중점적으로 파악하고자 한다. 이를 위해 모서리 근방에 식 (9)로부터 압력을 계산 할 수 있는 6개 위치를 각각  $a, b, c, d, e, f$ 로 Table 1에 나타내었다. 여기서  $c$ 는 Fig. 1에서처럼 전향계단의 모파기 된 길이이고  $\beta$ 는 모파기 된 각도를 나타낸다.

모서리에 근접하는 와류의 초기 위치  $(x_0, y_0)$ 는 충분히 모서리에서 떨어졌다고 판단되는  $(-7, 0.8)$ 로 하였으며, 와류의 세기와 계산을 위한 시간 증분을 각각  $k = -0.1$ 과  $\Delta t = 0.02$ 로 하였다. 여기서 와류의 세기  $k = -0.1$ 로 한 이유는 이 값을 이용한 계적 계

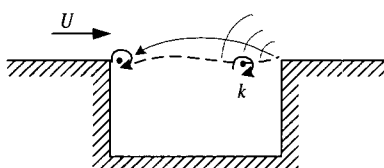


Fig. 2 Feedback mechanism on the open cavity flow

Table 1 Positions of pressure sensing

Position	$x/h$	$z/l$	Remark
a	0.	0.50	
b	0.	0.75	
c	$(0.75+c)\tan\beta$	0.85	
d	$(0.85+c)\tan\beta$	0.95	
e	$c \cdot \tan\beta + 0.05$	1.00	
f	$c \cdot \tan\beta + 0.3$	1.00	

산이 참고문헌 (7)의 공동에서의 와류 측정 결과와 가장 근접하는 결과이기 때문이다. 모파기가 되어있지 않은 직각 모서리에 대한 Schwartz-Christoffel 변환은 다음과 같이 표현된다.

$$z = f(\xi) = \frac{2i}{\pi} (\sin^{-1}\sqrt{\xi} + \sqrt{\xi(1-\xi)}) \quad (10)$$

이 식으로부터 좌표의 미분항은 다음과 같다.

$$\frac{dz}{d\xi} = \frac{2i}{\pi} \sqrt{\frac{1-\xi}{\xi}} \quad (11)$$

$$\frac{d^2z}{d\xi^2} = -\frac{i}{\pi\xi} (\sqrt{\frac{\xi}{1-\xi}} + \sqrt{\frac{1-\xi}{\xi}}) \quad (12)$$

식 (10)~(12)를 이용하여 직각 전향계단의 모서리에서 압력변동을 계산한 결과가 Fig. 3(a)에 나타나 있다. Fig. 3(b)는 직각 전향계단에 와류가 부딪치면서 이동하는 경로이다. 압력계수의 진폭은 모서리에 가장 인접한  $c, d$  점이 가장 큰 진폭을 보이며 둘 중에서  $d$  점 즉, 모서리 상부 부분이 모서리 전방 부분보다 큰 압력 변동을 보인다. 또한 계단의  $a, b$  위치 즉, 모서리에서 바닥 쪽으로 떨어진 부분의 압력 변동은 모서리에 비해서 매우 작은 값을 가지는 특성이 있다. 이는 모서리의 형상 변경 시에 바닥 부분은 압력 교란 진폭의 완화에 중요한 영향을 미치지 않음을 나타낸 결과이다.

직각 전향계단의 형상 변경이 모서리에서 탈생되는 비정상압력변동에 미치는 영향을 파악하기 위하여 모서리 각도를  $\beta = 15^\circ, 30^\circ, 45^\circ, 60^\circ, 75^\circ$ 로 변화시켜 가기로 한다. Figs. 4~6은 모파기 길이  $c = 0.2$ 로 하였을 때에 모파기 각도  $\beta = 15^\circ, 45^\circ, 75^\circ$ 에서의 압력 계수 분포를 각각 나타낸 것이다. 그림에서 알 수 있듯이 모파기 각도를 크게 할수록 교란압력 진폭이 점점 감소됨을 보이며, 특히 모서리 근방에서

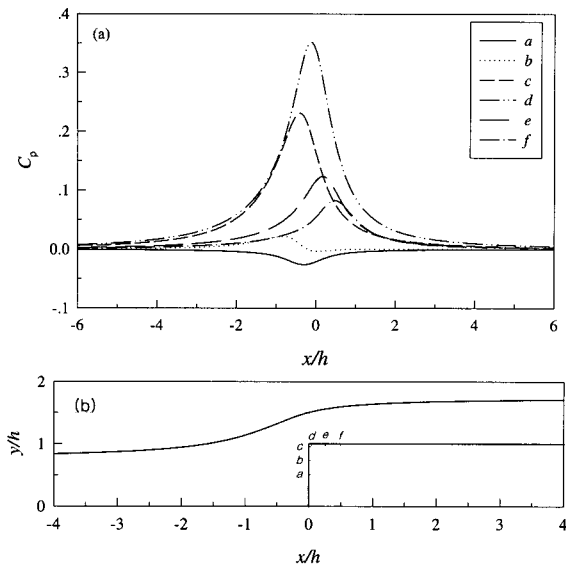


Fig. 3 Pressure pulses and vortex trajectory along a rectangular step

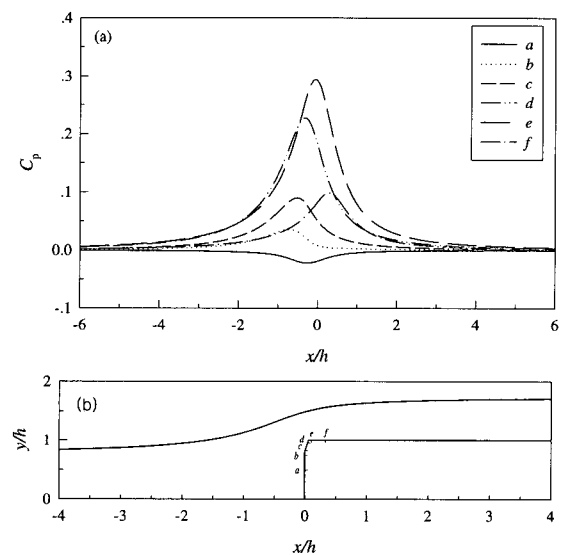


Fig. 4 Pressure pulses and vortex trajectory along a chamfered step,  $\beta=15^\circ$

의 압력 진폭이 크게 둔화되고 있다. 여기서 모파기 가 시작되는 높이를 일정하게 한 이유는 실제 공동이나 모서리의 모파기를 실시할 때에 모파기의 양에 제한이 발생하는 경우가 종종 있기 때문이다. 한 예로 벨브 시트면의 모파기를 지나치게 많이 하였을 경우에는 벨브가 닫혔을 때 고압유체의 밀봉성을 떨어뜨리는 결과를 가져올 수 있게 되어 이에 대한 주의를 필요로 한다.

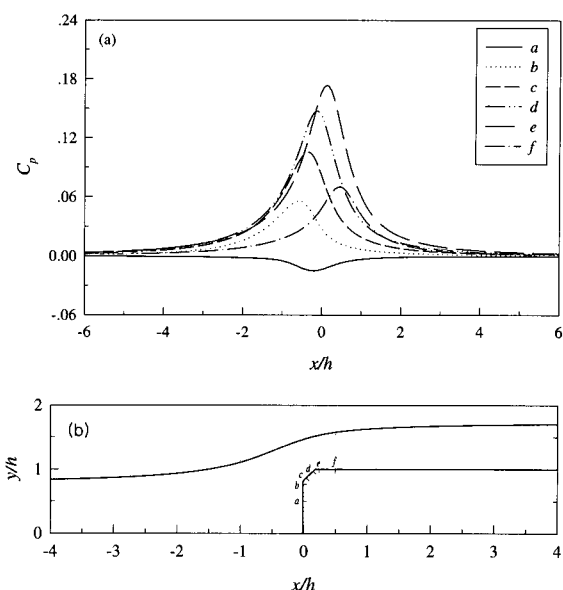


Fig. 5 Pressure pulses and vortex trajectory along a chamfered step,  $\beta=45^\circ$

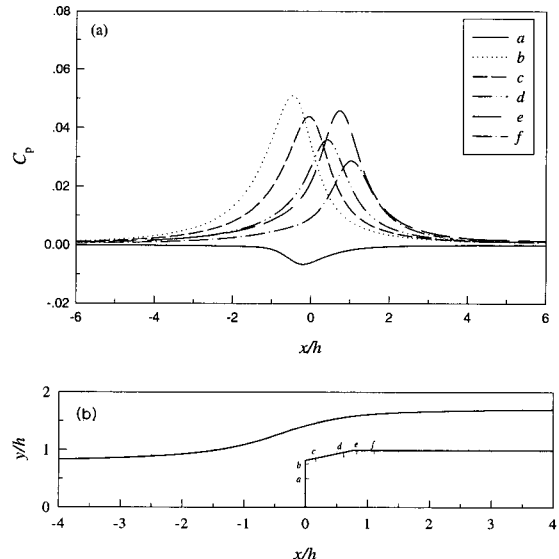


Fig. 6 Pressure pulses and vortex trajectory along a chamfered step,  $\beta=75^\circ$

Fig. 7과 Fig. 8은 압력 계산점 b 와 e에서 모파기 각도 변화에 따른 압력변동을 보여주고 있다. 모파기 각도를 크게 할수록 압력 교란의 진폭이 점점 줄어들고 있으며, 특히 모서리 상부인 e 점에서의 압력 교란 진폭이 크게 감소되고 있음을 보여준다. 이는 Fig.

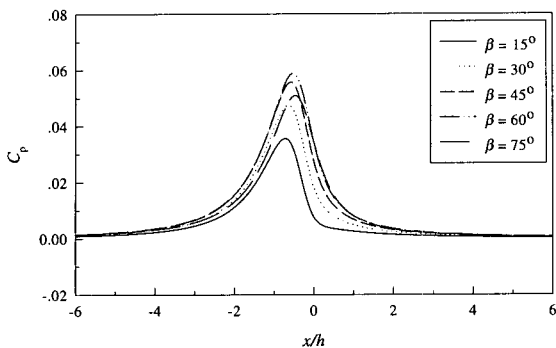


Fig. 7 The effect of the chamfering angle on the unsteady pressure coefficients at position  $b$

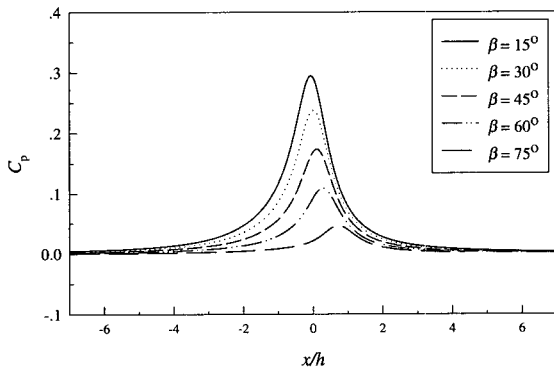


Fig. 8 The effect of the chamfering angle on the unsteady pressure coefficients at position  $e$

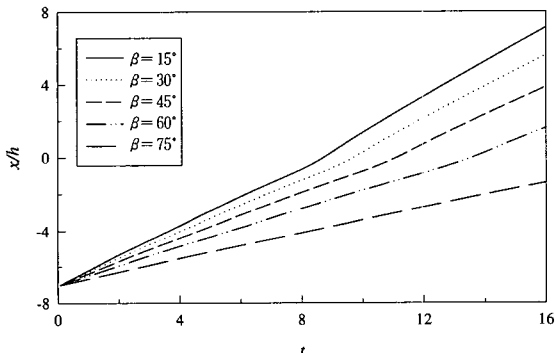


Fig. 9 Time variations of the  $x$ -coordinate vortex position with diverse chamfering angle

3에서와 같이 압력 교란의 최대 값이 발생되는 부분이 모서리의 상부 균방임을 감안 할 때 이 영역에서의 압력교란 진폭을 크게 완화시키는 역할을 하고 있음을 알 수 있다. 또한 Fig. 3의 모파기가 없는 직각

전향계단과 Fig. 6의 모파기 각도  $\theta=75^\circ$ 의 전향계단에 대한 압력교란 결과는 대략 1/10 정도의 진폭 차이를 보여주고 있으며 이러한 압력 진폭의 감소는 결국 주기적인 압력교란의 발생을 제거하는 결과를 가져오게 하는 역할을 한다. Fig. 9는 모파기 각도를 크게 할수록 와류의 이동 속도는 점점 느려지는 특성을 보여주고 있으며 이는 그만큼 자력진동의 촉진기능이 둔화되고 있음을 나타낸다. 따라서 모파기의 영향은 비정상 압력변동의 진폭을 줄여줄 뿐만 아니라 압력 교란파의 시간에 따른 기울기를 감소시켜주는 두 가지 기능이 있음을 확인할 수 있다.

압력 교란파의 시간에 따른 변화율이 크면 클수록 음향장 관점에서는 더 세기가 큰 음파 발생을 의미하며 이 세기는 공동 전단의 와류의 형성에 영향을 주게 된다. 형상 변경을 통하지 않고 재부착 모서리에서 발생되는 압력교란 진폭의 감소 방법은 와류의 초기 입사 위치를 증가시키거나 입사 와류의 세기를 줄이는 것이다. Fig. 10은 직각 전향계단에 부딪치는 와류의 초기 입사 위치를  $y/h = 0.6, 0.8, 1.0, 1.2$ 로 바꾸어 가면서 계산한 압력교란 변동을 나타내고 있다. 압력교란을 얻어내는 위치는  $x/h = 0, y/h = 0.95$ 인 점으로 하였다. 결과에서 알 수 있듯이 초기 와류의 위치가 모서리의 상부로 이동될수록 압력진폭의 값이 크게 감소되고 있음을 보여주고 있다.

여러 가지 실험을 종합해보면 와류의 입사 위치를 높여주었을 때 압력교란의 진폭이 크게 완화되는 결과를 보여주고 있다. 이러한 예로 공동에서 공동의 전단에 스포일러를 장착하여 초기 와류위치를 높여주거나 공동 후단의 높이를 전단의 높이보다 낮게 하기도 하며, 공동 하부에서 유량을 공급함으로서 와류의 이동 경로를 상향시키는 방법 등이 실험을 통해 알려져 있다. 이러한 실험의 종합적인 결과는 압력 진폭의 크기를 어느 기준 이하로 떨어뜨려서 공동의 전단으로 되먹임 되는 양을 완화시켜 결국 공동 전단에서 발생되는 와류의 강도가 성장하지 않도록 하는 역할을 하는 것으로 기대된다. 또한 와류의 입사 위치가 작은 경우의 압력 진폭의 기울기가 더 급격히 형성되는 특징이 있어서 예를 들면  $x/h = -1$ 을 기준으로 볼 때 입사와류의 초기 위치  $y/h = 1.2$ 인 경우는 초기위치  $x/h = 0.6$ 인 경우보다  $x/h = -1$ 의 상부에서 압력교란이 더 큰 값을 가지나 그 위치를 지나면 훨씬 작은 값을 가지게 됨을 알 수 있다. 또한 모파

기의 각도를 증가시키는 것은 상대적으로 계단의 높이를 감소시키는 결과와 매우 흡사하게 된다. Fig. 6의 모파기 각도  $\beta=75^\circ$ 에서의 결과는 마치 초기 와류의 위치가 모파기 된 길이  $c$ 만큼 높아지는 역할을 하고 있음을 알 수 있다. 이러한 계산 결과를 놓고 볼 때 모파기 각도를 크게 하는 것이 초기 와류의 높이를 증가시키는 결과를 가져와 결국 압력교란 진폭을 완화시키는 데 커다란 역할을 하고 있음을 알 수 있다.

와류의 세기도 압력 진폭에 커다란 영향을 주는 주요 인자이다. Fig. 11은 와류의 세기에 따른 압력 교란의 진폭을 얻어낸 결과이다. 그림에서 알 수 있듯 이 입사되는 와류의 세기가 작을수록 되먹임 기구(feed-back mechanism)의 기능이 감소되는 결과를 보여주고 있다. 공동의 전단에 모파기를 하였을 때 박리되는 와류의 세기가 감소되면 그만큼 와류의 재

부착 모서리에 부딪칠 때 발생되는 압력교란의 진폭을 감소시키는 역할을 할 것으로 기대된다. 이러한 역할을 위해 공동 전단과 후단을 모두 모파기 하였을 때의 소음 발생 수준이 공동 후단만 모파기 하였을 때보다 작은 값을 갖게 되는 이유가 될 것으로 보인다.<sup>(9)</sup>

#### 4. 결 론

공동에서의 유동장의 자려 진동현상은 공동 후단에서 와류와 모서리의 상호작용 시에 발생되는 압력변동의 크기에 따라 커다란 영향을 받는다. 이 압력 진폭이 자려진동을 일으키기에 충분한 값 이상일 때 되먹임 현상이 나타나게 된다. 본 연구에서는 후향계단 모서리의 형상 변화를 통해 비정상 압력 변동이 모서리 근방에서 어떻게 변하는지를 수치적으로 연구하였다.

직각 전향계단에서 비정상 벽면압력 변동은 와류가 모서리에 근접하면서 커다란 진폭을 발생시킴을 확인하였으며, 특히 모서리 근방에서 급격한 변화가 발생되므로 이 부분에 대한 형상 변경이 비정상 벽면압력 변동의 완화에 크게 영향을 줄 수 있음을 예상할 수 있었다. 모서리의 형상변경은 수직벽면 모서리에서 동일한 모파기 길이를 가지고 모파기 각도를 증가시키면서 벽면압력 변동의 변화를 계산하였다. 모파기 각도를 크게 할수록 비정상 압력 변동은 크게 줄어들었으며 직각 계단인 경우에 비해  $75^\circ$  모파기 하였을 때가  $1/10$  정도의 진폭 감소를 가져왔다. 또한 모파기 각도 증가는 벽면 압력변동의 시간에 따른 변화율을 감소시키는 결과를 가져왔다.

와류의 초기 높이와 세기 변화는 둘 다 모서리의 벽면 압력 변동에 중요한 인자로 작용함을 확인하였다. 특히 모서리에서의 와류의 높이가 작을수록 벽면 압력변동은 기울기와 진폭이 동시에 증가한다. 이를 통해 볼 때 모파기 각도를 매우 크게 했을 때 갖는 효과는 와류의 초기 유효 높이를 모파기 길이만큼 증가시키는 효과로 볼 수 있다.

#### 후 기

본 연구는(과제번호 : 00-지역-03) 한국전력공사 지원에 의하여 기초전력공학 공동연구소 주간으로 수행되었음.

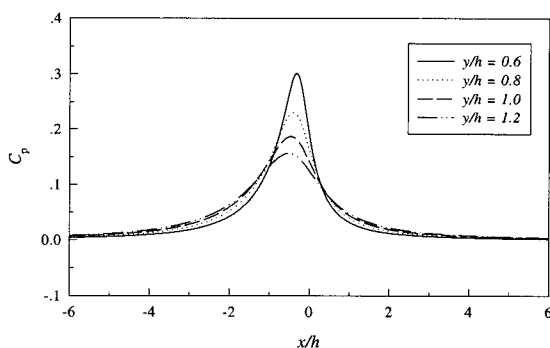


Fig. 10 The effect of the initial vertical vortex position on the unsteady pressure coefficients at position  $b$  for rectangular step

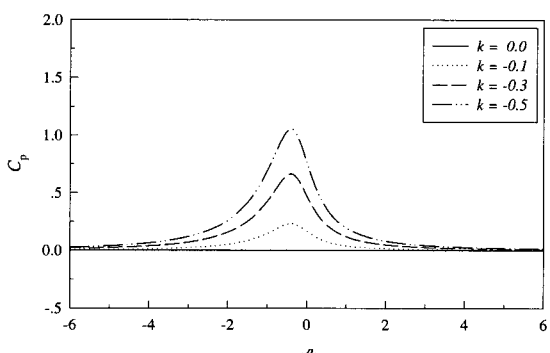


Fig. 11 The effect of the vortex strength on the unsteady pressure coefficients at position  $b$  for rectangular step

참고문헌

- (1) Coffman, J. T., and Bernstein, M. D., 1980, "Failure of Safety Valves Due to Flow-induced Vibration," *J. Pressure Vessel Technology*, Vol. 102, pp. 112~118.
- (2) Brown, G. B., 1937, "The Vortex Motion Causing Edge Tones," *Proc. Phys. Soc.* Vol. 49, pp. 493~507.
- (3) Rossiter, J. E., 1964, "Wind Tunnel Experiments on the Flow Over Rectangular Cavities at Subsonic and Transonic Speeds," *RAE Rep. and Memoranda No. 3438*.
- (4) Rockwell, D., and Knisely, C., 1979, "The Organized Nature of Flow Impingement upon a Corner," *J. Fluid Mech.* Vol. 93, pp. 413~432.
- (5) Tang, Y. P., and Rockwell, D., 1983, "Instantaneous Pressure Fields at a Corner Associated with Vortex Impingement," *J. Fluid Mech.*, Vol. 126, pp. 187~204.
- (6) Lee, D. J., 1988, "Surface Pressure Fluctuations Due to Impinging Vortical Flows upon an Airfoil," *AIAA Paper 88-3657-CP*.
- (7) Conlisk, A. T., and Rockwell, D., 1981, "Modeling of Vortex-corner Interaction Using Point Vortices," *Phys. Fluids*, Vol. 24, pp. 2133~2142.
- (8) Panaras, A. G., 1985, "Pressure Pulses Generated by the Interaction of a Discrete Vortex with an Edge," *J. Fluid Mech.* Vo. 154, pp. 445~461.
- (9) Rockwell, D., and Naudascher, E., 1978, "Review-self-sustaining Oscillations of Flow Past Cavities," *J. Fluids Engineering*, Vol. 100, pp. 152~165.